

ЛЮМІНЕСЦЕНЦІЯ КРИСТАЛА $\text{BaCd}_2\text{Cl}_6:\text{Sn}$

О. М. Бердичевський, М. С. Підзирайло, В. В. Купчинський
Львівський національний університет імені Івана Франка,
бул. Кирила і Мефодія, 8, Львів, 79005, Україна
(Отримано 17 вересня 2001 р.)

Подано результати досліджень спектрів фотолюмінесценції та збудження фотолюмінесценції кристала $\text{BaCd}_2\text{Cl}_6:\text{Sn}$ в ділянці температур 77–300 К. У спектрі фотолюмінесценції спостерігається декілька смуг при 2.68, 2.50, 2.31 і 2.11 еВ, які відповідають переходам з янтеллерівських мінімумів адіабатичних потенціалів релаксованого збудженого стану ${}^3T_{1u}$ в основний стан ${}^1A_{1g}$ йона Sn^{2+} . Проведено ідентифікацію смуг збудження фотолюмінесценції з A -, B - і C -смугами поглинання йона Sn^{2+} на підставі закономірностей їх розміщення в кристалах $BX_2:\text{Sn}$ і $ABX_3:\text{Sn}$. Визначено величину абсолютноного квантового виходу фотолюмінесценції η_k і досліджено його температурну залежність. За формулою Мотта вирахувано енергію активації безвипромінювальних переходів ($\epsilon = 36$ мeВ) і постійну гасіння ($C = 0.61 \cdot 10^2$) для кристала $\text{BaCd}_2\text{Cl}_6:\text{Sn}$.

Ключові слова: ефект Яна–Теллера, спектри фотолюмінесценції, спектри збудження фотолюмінесценції.

PACS number(s): 78.55.Fv, 61.72.-y, 81.10.Fq

I. ВСТУП

Кристал BaCd_2Cl_6 має кубічну симетрію з просторовою групою $Fd\bar{3}m$. Його структура складається з октаедрів CdCl_6 , які утворюють класичний каркас Cd_2X_6 . Постійна ґратки, за даними [1], становить $a = 13.797$ Å, а за даними [2] — $a = 13.9$ Å.

У попередній праці ми дослідили спектри відбивання та фотолюмінесценції чистих кристалів BaCd_2Cl_6 [3] в широкому спектральному (4–22 еВ) і температурному (9–300 К) інтервалах. За даними спектрів відбивання було визначено ширину забороненої зони кристала ($E_g = 7.023$ еВ) та енергію зв'язку екситона ($F = 0.721$ еВ). У спектрах фотолюмінесценції було виявлено декілька смуг, одна з яких ідентифікована як випромінювання домішок Mn^{2+} .

У цій статті подано результати дослідження спектрів фотолюмінесценції, спектрів збудження фотолюмінесценції та температурної залежності абсолютноного квантового виходу фотолюмінесценції активованих йонами Sn^{2+} кристалів $\text{BaCd}_2\text{Cl}_6:\text{Sn}$.

II. МЕТОДИКА РОСТУ КРИСТАЛІВ ТА ОПТИКО-СПЕКТРАЛЬНИХ ВИМІРЮВАНЬ

Монокристали $\text{BaCd}_2\text{Cl}_6:\text{Sn}$ вирощували методом Стокбаргера з розплаву у кварцових ампулах із очищеної методом зонної плавки солі BaCl_2 (8 зон) та методом 4-кратної сублімації солі CdCl_2 . Вихідна сировина BaCl_2 і CdCl_2 була марки “ХЧ”. Швидкість росту кристала становила 4.5 мм/год. Концентрація активатора в кристалі $\text{BaCd}_2\text{Cl}_6:\text{Sn}$ була $c_1 \approx 2.0 \cdot 10^{-4}$ і $c_2 \approx 4.0 \cdot 10^{-3}$ моль%. Зразки для дослі-

дження виколювали по найчіткіших площинах спайності при $T \geq 390$ К.

Оптико-спектральні вимірювання проводили на спектрофотометрі, змонтованому на базі подвійного монохроматора МДР-6 та дзеркального монохроматора ЗМР-3. Низькотемпературні вимірювання проводили за допомогою азотного кріостата з регульованою температурою. Спектри фотолюмінесценції і спектри збудження фотолюмінесценції були виправлені на спектральну чутливість спектрофотометра. Спектральні вимірювання здійснювали з точністю ± 0.002 еВ. Величину абсолютноного квантового виходу фотолюмінесценції визначали за допомогою фотометричної кулі з точністю $\pm 9\%$ [4].

III. РЕЗУЛЬТАТИ ВИМІРЮВАНЬ ТА ЇХ ОБГОВОРЕННЯ

A. Спектри фотолюмінесценції кристала $\text{BaCd}_2\text{Cl}_6:\text{Sn}$

Спектр фотолюмінесценції кристала $\text{BaCd}_2\text{Cl}_6:\text{Sn}$ (концентрація c_1) при 77 К і збудженні лінією ртутного розряду 4.43 еВ, що припадає на ділянку активаторного поглинання, складний і простягається від 2.0 до 3.0 еВ (рис. 1,а). Ми розкладли його на п'ять гауссівських компонент (таблиця 1). Найменшою інтенсивністю характеризується смуга 2.84 еВ, найбільшою — смуга 2.50 еВ.

При збудженні іншими лініями ртутного спектра в ділянці активаторного поглинання міняється лише розподіл інтенсивності між смугами (77 К), а їх положення залишається незмінним (рис. 1,б).

Природа смуги	$A_T(\text{Ba})$	$A_T(\text{Cd})$	$A_X(\text{Ba})$	$A_X(\text{Cd})$
Положення, еВ	2.84	2.68	2.50	2.31
Півширина ΔH , еВ	0.212	0.212	0.212	0.170

Таблиця 1. Положення та півширини смуг фотолюмінесценції кристала $\text{BaCd}_2\text{Cl}_6:\text{Sn}$ при 77 К.

У більшості йонних кристалів типу $\text{BCl}_2:\text{Sn}$ ($B = \text{Mg}, \text{Ca}, \text{Sr}, \text{Ba}$) та $\text{ACaCl}_3:\text{Sn}$ ($A = \text{K}, \text{Rb}, \text{Cs}$) [5–8], як правило, спостерігається декілька смуг фотолюмінесценції Sn^{2+} -центрів, які виникають у тій же спектральній ділянці (таблиця 2), що й у кристалах $\text{BaCd}_2\text{Cl}_6:\text{Sn}$. Вони відповідають переходам із тригональних і тетрагональних мінімумів адіабатичного потенціалу релаксованого збудженого стану в основний стан, тому в спектрах проявляються дві смуги фотолюмінесценції, як і передбачено ефектом Яна–Теллера [9]. Однак у деяких кристалах спостерігається лише по одній смузі фотолюмінесценції (в $\text{CsCaCl}_3:\text{Sn}$ — A_X , в $\text{CaCl}_2:\text{Sn}$ — A_T [5,6,10]).

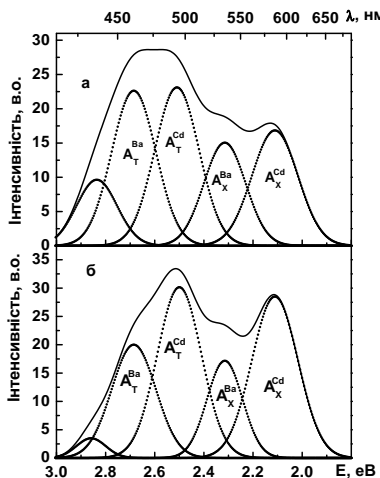
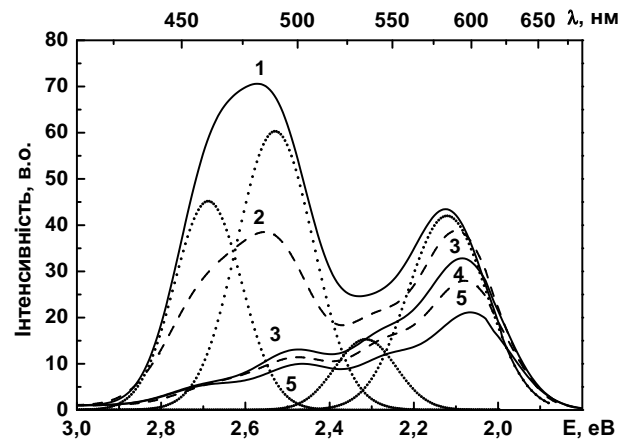
Рис. 1. Спектри фотолюмінесценції $\text{BaCd}_2\text{Cl}_6:\text{Sn}$ при збудженні в ділянці активаторного поглинання Sn^{2+} -центрів 4,69 еВ (а) і 4,11 еВ (б) при 77 К. Пунктирними кривими показано розклад на гауссівські компоненти.

Рис. 2. Температурна залежність спектра фотолюмінесценції при збудженні в ділянці смуг активаторного поглинання (4,11 еВ). Крива 1 — 77 К, 2 — 97 К, 3 — 119 К, 4 — 194 К, 5 — 230 К. Точками показано розклад кривої 1 на окремі гауссівські компоненти.

Кристал	E_1 , еВ	Смуга	E_2 , еВ	Смуга	E_3 , еВ	T , К	Джерело
$\text{MgCl}_2:\text{Sn}$	2.78	A_T				4.2	[10]
$\text{CaCl}_2:\text{Sn}$	2.97	A_T				4.2	[10]
$\text{SrCl}_2:\text{Sn}$	3.03	A_T	2.21	A_X		4.2	[5]
$\text{SrCl}_2:\text{Sn}$	3.06		2.19		2.1	?	[8]
$\text{BaCl}_2:\text{Sn}$	2.87		2.21		1.98	78	[7]
$\text{KCaCl}_3:\text{Sn}$	3.00	A_T	2.58	A_X		4.2	[6]
$\text{RbCaCl}_3:\text{Sn}$	3.06	A_T	2.44	A_X		4.2	[6]
$\text{CsCaCl}_3:\text{Sn}$			2.38	A_X		4.2	[6]

Таблиця 2. Положення смуг фотолюмінесценції Sn^{2+} -центрів у галоїдах лужно-земельних і перовськитоподібних кристалів.

Проведені вимірювання спектрів фотолюмінесценції кристала $\text{BaCd}_2\text{Cl}_6:\text{Sn}$ при різних температурах і збудженні різними довжинами хвиль показали, що інтенсивність смуг 2.68 і 2.50 еВ дуже швидко падає зростом температури (рис. 2, криві 1–3), а інтенсив-

ність смуг 2.31 і 2.11 еВ — досить повільно (рис. 2, криві 1–5). Аналогічно себе ведуть A_T - і A_X -смуги активаторної люмінесценції в лужно-галоїдних кристалах [9].

Наявність п'яти смуг люмінесценції можна пояс-

нити, якщо вважати, що в кристалі $\text{BaCd}_2\text{Cl}_6:\text{Sn}$ не тільки реалізується ефект Яна–Теллера, але й іон Sn^{2+} займає два нееквівалентні положення в кристалічній ґратці, тобто — положення іонів Ba^{2+} і Cd^{2+} . Останнє приводить до зміни енергії випромінювань квантів. Тому в таблиці 1 ідентифіковано чотири смуги, що відповідають A_T - і A_X -випромінюванню, але в одному випадку іон Sn^{2+} заміняє іон Ba^{2+} у кристалічній ґратці (A_T^{Ba} і A_X^{Ba}), а в іншому — іон Cd^{2+} (A_T^{Cd} і A_X^{Cd}).

Смуга фотолюмінесценції 2.84 еВ виникає переважно при збудженні у високоенергетичній ділянці ($E \geq 5.0$ еВ), і її інтенсивність досить чутлива до числоти вихідної сировини, тому на цьому етапі її ідентифікувати важко.

В. Спектри збудження A_T - і A_X -смуг фотолюмінесценції

Спектри збудження для A_T -смуги фотолюмінесценції кристала $\text{BaCd}_2\text{Cl}_6:\text{Sn}$ при 77 К характеризуються складним контуром, зумовленим сильним пеперекриттям окремих смуг унаслідок як ефекту Яна–Теллера, так і нееквівалентного розміщення іона Sn^{2+} у кристалічній ґратці (рис. 3, а). Найефективніше свічення в A_T -смузі збуджується в ділянці 4.2–4.8 еВ. У ділянці високих енергій (5.75–6.25 еВ) ефективність збудження невелика.

Спектр збудження для A_X -смуги фотолюмінесценції є дещо відмінним від спектра збудження для A_T -смуги (рис. 3, б). Так, з боку менших енергій виникає нова інтенсивна смуга при 3.78 еВ. Крім цього, A_X -смуга фотолюмінесценції набагато ефективніше збуджується у високоенергетичній ділянці спектра.

З підвищенням температури (77–180 К) швидко падає інтенсивність смуг збудження фотолюмінесценції 5.80 і 6.02 еВ (рис. 4, криві 1–3), що є характерним для смуг поглинання (збудження фотолюмінесценції) колоактиваторного екситона D_1 і D_2 [11]. З рис. 3, б і 4 бачимо, що ефективність фотолюмінесценції Sn^{2+} -центрів при збудженні в екситонній смузі поглинання 6.18 еВ при 77 К є досить малою.

Для виявлення положення A -, B - і C -смуг поглинання (збудження фотолюмінесценції), які відповідають електронним переходам ${}^1A_{1g} \rightarrow {}^3T_{1u}$; ${}^1A_{1g} \rightarrow {}^3T_{2u}$, 3E_u і ${}^1A_{1g} \rightarrow {}^1T_{1u}$ відповідно, ми дослідили спектри збудження фотолюмінесценції з використанням інтерференційних світлофільтрів, що відповідають приблизному положенню смуг фотолюмінесценції (див. табл. 1). Крім того, для більшої впевненості ми використали закономірності розміщення A -, B - і C -смуг збудження фотолюмінесценції Sn^{2+} -центрів у кристалах $\text{MgCl}_2:\text{Sn}$, $\text{CaCl}_2:\text{Sn}$, $\text{SrCl}_2:\text{Sn}$, $\text{BaCl}_2:\text{Sn}$ і $\text{ACaCl}_3:\text{Sn}$ ($A = \text{K}$, Rb , Cs) (таблиця 3), де іон Sn^{2+} займає положення Mg^{2+} , Ca^{2+} , Sr^{2+} і Ba^{2+} відповідно [5, 6, 9]. У всіх цих кристалах (кубічних SrCl_2 , CsCaCl_3 і нижчої симетрії CaCl_2 , BaCl_2 , ACaCl_3 ($A = \text{K}$, Rb)) спостерігаємо дві A -смуги (A_1 і A_2), дві B -смуги (B_1 і

B_2) і три C -смуги збудження фотолюмінесценції (C_1 , C_2 і C_3), зумовлені ефектом Яна–Теллера. Цей аналіз літературних даних ми використали для знаходження положень A - і B -смуг збудження люмінесценції Sn^{2+} -центрів у кристалі $\text{BaCd}_2\text{Cl}_6:\text{Sn}$, що займають різні позиції іонів Ba^{2+} і Cd^{2+} .

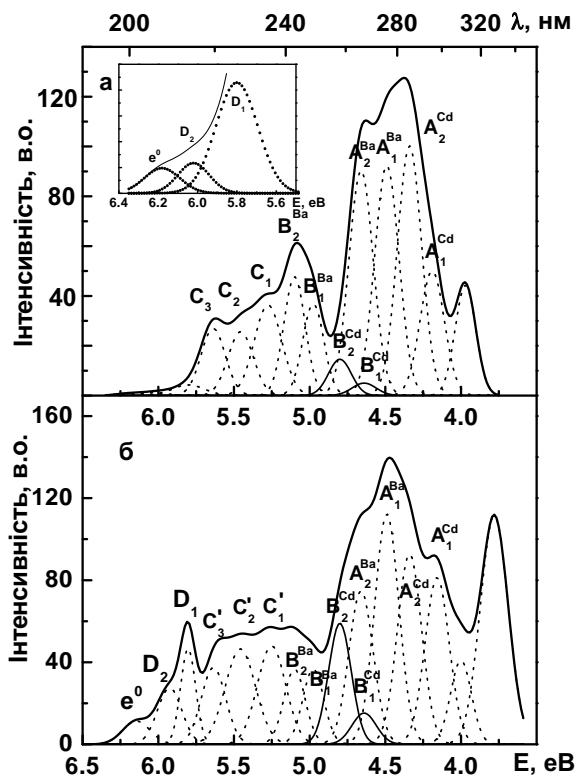


Рис. 3. Спектри збудження A_T -смуги (а) і A_X -смуги (б) фотолюмінесценції кристала $\text{BaCd}_2\text{Cl}_6:\text{Sn}$ при температурі 77 К та їх розклад на окремі гауссівські компоненти. На вставці (а) показано у збільшенні вигляд спектральної ділянки 5.5–6.4 еВ.

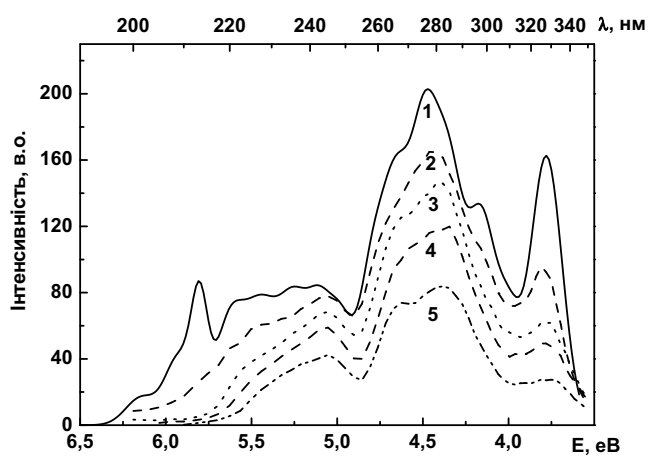


Рис. 4. Температурна залежність спектра збудження A_X -смуги фотолюмінесценції. Крива 1 — 77 К, 2 — 117 К, 3 — 182 К, 4 — 212 К, 5 — 254 К.

Кристал	A -смуга, еВ	B -смуга, еВ	C -смуга, еВ	Джерело
$\text{MgCl}_2:\text{Sn}$	4.02	4.31	4.52	4.74
$\text{CaCl}_2:\text{Sn}$	4.31	4.48	4.74	4.93
$\text{SrCl}_2:\text{Sn}$	4.60	4.73	4.97	5.18
$\text{BaCl}_2:\text{Sn}$	4.47	4.47	4.67	4.72
$\text{KCaCl}_3:\text{Sn}$	4.27	4.38	4.64	4.78
$\text{RbCaCl}_3:\text{Sn}$	4.29	4.37	4.69	4.78
$\text{CsCaCl}_3:\text{Sn}$	4.27	4.35	4.62	4.78
				5.22
				5.35
				5.48
				5.49
				[6]

Таблиця 3. Положення максимумів A -, B - і C -смуг збудження фотолюмінесценції в кристалах $ABX_3:\text{Sn}$ і $BX_2:\text{Sn}$ ($A = \text{K}, \text{Rb}, \text{Cs}; B = \text{Mg}, \text{Ca}, \text{Sr}, \text{Ba}$).

Результати розкладу складних спектрів збудження фотолюмінесценції кристала $\text{BaCd}_2\text{Cl}_6:\text{Sn}$ на окремі смуги гауссівської форми та їх ідентифікація подані в таблиці 4.

A_T -люмінесценція		A_X -люмінесценція		Природа смуги
E , еВ	ΔH , еВ	E , еВ	ΔH , еВ	
		3.78	0.216	
3.97	0.161	4.00	0.157	
4.19	0.188	4.16	0.188	$A_1(\text{Cd})$
4.34	0.188	4.34	0.188	$A_2(\text{Cd})$
4.49	0.188	4.49	0.188	$A_1(\text{Ba})$
4.64	0.188	4.64	0.188	$A_2(\text{Ba})$
4.66	0.188	4.66	0.188	$B_1(\text{Cd})$
4.80	0.176	4.80	0.176	$B_2(\text{Cd})$
4.97	0.162	4.97	0.162	$B_1(\text{Ba})$
5.10	0.165	5.10	0.165	$B_2(\text{Ba})$
5.28	0.188	5.25	0.188	C_1
5.47	0.195	5.46	0.195	C_2
5.63	0.195	5.65	0.195	C_3
5.80	0.188	5.80	0.188	D_1
6.02	0.188	6.02	0.188	D_2
6.18	0.211	6.18	0.211	e^0

Таблиця 4. Положення та півширина смуг збудження для A_T - і A_X -смуг фотолюмінесценції кристала $\text{BaCd}_2\text{Cl}_6:\text{Sn}$ при 77 К.

З рис. 3 бачимо, що A_T -смуга фотолюмінесценції збуджується в ділянці 3.97 еВ. Інтенсивність останньої різко зростає зі збільшенням концентрації Sn^{2+} -центрів (c_2) в кристалі $\text{BaCd}_2\text{Cl}_6:\text{Sn}$. Тому ми вважаємо, що вона зв'язана з поглинанням $(\text{Sn}^{2+})_2$ -центрів.

Звертає на себе увагу більша інтенсивність свічення при збудженні в A_2^{Cd} -смузі, ніж в A_1^{Cd} -смузі (рис. 3, а). Водночас при 77 К для кристалів $ABX_3:\text{Sn}$

і $BX_2:\text{Sn}$ спостерігаємо протилежне явище: інтенсивність A_1 -смуг збудження фотолюмінесценції є більшою. Ми провели спектральний аналіз досліджуваних кристалів і виявили в них домішки свинцю та марганцю. Детальне вивчення цього ефекту показало, що ми маємо справу з накладанням смуг збудження фотолюмінесценції Sn^{2+} -центрів ($A_2^{\text{Cd}} = 4.34$ еВ) і Pb^{2+} -центрів ($A_1^{\text{Ba}} = 4.33$ еВ), які займають позицію Ba^{2+} .

З рис. 3, б бачимо, що A_X -смуга фотолюмінесценції ефективно збуджується в ділянці 3.78 еВ. Її природу поки що важко встановити, оскільки ці невідомі центри випромінюють у ділянці $E < 2.2$ еВ.

С. Квантовий вихід фотолюмінесценції

Вимірювання величини абсолютноого квантового виходу фотолюмінесценції кристала $\text{BaCd}_2\text{Cl}_6:\text{Sn}$ проводили в температурному інтервалі 77–234 К. При 77 К величина $\eta_k = 0.78 \pm 0.07$. Оскільки при відповідних температурах вимірювали повний спектр фотолюмінесценції, то, розкладаючи останній на гауссівські компоненти (таблиця 1), ми вираховували окремо величини квантових виходів для A_T - і A_X -смуг фотолюмінесценції (η_k^T і η_k^X відповідно), а також квантові виходи фотолюмінесценції для свічення активатора, розміщеного в позиціях Ba $\eta_k^{\text{Ba}} = (\eta_k^{T(\text{Ba})} + \eta_k^{X(\text{Ba})})$ та кадмію $\eta_k^{\text{Cd}} = (\eta_k^{T(\text{Cd})} + \eta_k^{X(\text{Cd})})$.

Величина η_k з підвищеннем температури швидко зменшується (рис. 5, а, крива 1), тобто температурне гасіння люмінесценції кристала $\text{BaCd}_2\text{Cl}_6:\text{Sn}$ починається при $T \approx 77$ К. За температурною залежністю величини η_k за допомогою формули Мотта вирахувано енергію активації безвипромінювальних переходів $\varepsilon = 36$ меВ і постійну гасіння $C = 0.61 \cdot 10^2$.

При 77 К величина η_k^T є більшою, ніж η_k^X (рис. 5, а, криві 2 і 3 відповідно), і далі з підвищеннем температури величина η_k^T різко падає, а в ділянці температур 120–230 К майже залишається постійною. Водночас величина η_k^X повільно зменшується з підвищеннем температури (рис. 5, а, крива 3). Зауважимо, що величина η_k^X для кристалів $AX:\text{Sn}$ з підвищеннем темпе-

ратури спочатку зростає, а далі падає [11,12]. З цього випливає, що для кристала $\text{BaCd}_2\text{Cl}_6:\text{Sn}$ адіабатичний потенціял X збудженого релаксованого стану йона Sn^{2+} характеризується глибоким мінімумом, і тому ймовірність тунельних переходів із тригональних мінімумів на тетрагональні є досить малою.

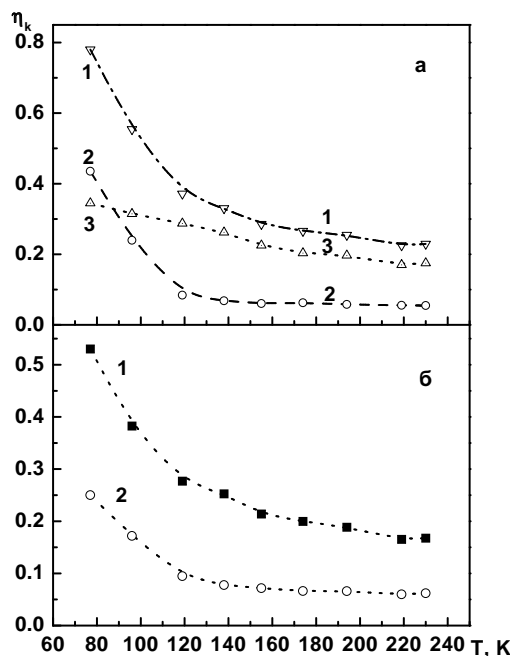


Рис. 5. а) Температурна залежність величин $\eta_k = (\eta_k^T + \eta_k^X)$ (крива 1), $\eta_k^T = (\eta_k^{T(\text{Ba})} + \eta_k^{T(\text{Cd})})$ (крива 2), $\eta_k^X = (\eta_k^{X(\text{Ba})} + \eta_k^{X(\text{Cd})})$ (крива 3); б) $\eta_k^{\text{Cd}} = (\eta_k^{T(\text{Cd})} + \eta_k^{X(\text{Cd})})$ (крива 1), $\eta_k^{\text{Ba}} = (\eta_k^{T(\text{Ba})} + \eta_k^{X(\text{Ba})})$ (крива 2).

При 77 К величина $\eta_k^{\text{Cd}} = 0.53$ є більшою, ніж величина $\eta_k^{\text{Ba}} = 0.25$, причому цю закономірність спостерігаємо і при вищих температурах (рис. 5, б, криві

1 і 2 відповідно). Відношення величин $\eta_k^{\text{Cd}} / \eta_k^{\text{Ba}}$ міняється зі зміною довжини хвилі збуджуючого світла, однак воно завжди перевищує одиницю навіть при збудженні в $A_1^{\text{Ba}-}$ і A_2^{Ba} -смугах поглинання. З цього випливає, що в досліджуваних кристалах відбувається ефективна міграція енергії збудження від йонів Sn^{2+} , які замінюють йони Ba^{2+} , до йонів Sn^{2+} , що замінюють йони Cd^{2+} . Гасіння люмінесценції Sn^{2+} -центрів, що замінюють йони Ba^{2+} , є менш температурно стійким.

IV. ВИСНОВКИ

- У спектрі фотолюмінесценції кристала $\text{BaCd}_2\text{Cl}_6:\text{Sn}$ при 77 К спостерігаємо п'ять смуг: 2.84; 2.68; 2.50; 2.31 і 2.11 еВ. Смуги 2.68 і 2.31 еВ та 2.50 і 2.11 еВ відповідають переходам із янтареллерівських мінімумів адіабатичних потенціалів релаксованого збудженого стану в основний стан (A_T - й A_X -смуги) для випадків, коли йон Sn^{2+} займає позицію Ba^{2+} і Cd^{2+} відповідно. Природа смуги 2.84 еВ поки що не встановлена.
- Спектр збудження фотолюмінесценції кристала $\text{BaCd}_2\text{Cl}_6:\text{Sn}$ характеризується складним контуром, зумовленим сильним перекриттям A -, B -, C - і D -смуг поглинання Sn^{2+} -центрів, які займають положення йонів Ba^{2+} і Cd^{2+} в кристалічній гратці. Ідентифікація A -, B - і C -смуг проведена на основі закономірностей їх розміщення в кристалах $BX_2:\text{Sn}$ і $ABX_3:\text{Sn}$.
- Величина абсолютноного квантового виходу фотолюмінесценції η_k кристала $\text{BaCd}_2\text{Cl}_6:\text{Sn}$ при температурі 77 К становить $\eta_k = 0.78 \pm 0.09$. За температурною залежністю величини η_k за допомогою формули Мотта знайдено енергію активації безвипромінювальних переходів $\varepsilon = 36$ меВ і постійну гасіння $C = 0.61 \cdot 10^2$.

-
- [1] I. Narai-Szabo, *Неорганическая кристаллохимия* (Изд-во АН Венгрии, Будапешт, 1969).
 - [2] M. Ledesert, B. Raveau, J. Solid State Chem. **67**, 340 (1987).
 - [3] О. М. Бердичевський, М. С. Підзирайло, О. Т. Антоняк, І. В. Стефанський, Вісн. Львів. ун-ту, сер. фіз. **33**, 51 (2000).
 - [4] В. Н. Вишневский, А. Б. Лыкович, Н. С. Пидзырайло, Сб. *Физика щелочно-галоїдних кристаллов* (Издательство Латвийского университета, Рига, 1962).
 - [5] Н. С. Пидзырайло, И. П. Пашук, А. С. Волошиновский, Укр. физ. журн. **27**, 259 (1982).
 - [6] В. Н. Вишневский, А. С. Волошиновский, И. П. Пашук, Н. С. Пидзырайло, З. А. Хапко, Опт. спектроскоп. **52**, 501 (1982).
 - [7] K. Kynev, V. Tabakova, Bulg. J. Phys. **7**, 270 (1980).
 - [8] V. Tabakova, O. Konsulova, Z. Phys. Chem. **166**, 47 (1990).
 - [9] A. Fukuda, Phys. Rev. B **1**, 4161 (1970).
 - [10] В. Н. Вишневский, Н. С. Пидзырайло, Изв. АН СССР, сер. физ. **43**, 1112 (1979).
 - [11] A. Scacco, P. W. M. Jacobs, J. Luminescence **26**, 390 (1982).
 - [12] P. W. M. Jacobs, J. Phys. Chem. Solids **52**, 35 (1991).

ON THE LUMINESCENCE OF $\text{BaCd}_2\text{Cl}_6:\text{Sn}$ CRYSTAL

O. M. Berdychevsky, M. S. Pidzirailo, V. V. Kupchinskiy

Ivan Franko National University of Lviv, Department of Physics,

8 Kyryla i Mefodia Str., Lviv, UA-79005, Ukraine

e-mail: Superlab@Franko.Lviv.UA

The results on the studying of photoluminescence spectra and excitation photoluminescence spectra of the $\text{BaCd}_2\text{Cl}_6:\text{Sn}$ crystal in the temperature range of 77–300 K are reported. Several photoluminescence bands, which correspond to the transitions from Jahn–Teller minima of adiabatic potential energy surface of ${}^3T_{1u}$ state into ${}^1A_{1g}$ ground state of Sn^{2+} impurity ion, were observed at 2.68, 2.50, 2.31 and 2.50 eV. An assignment of the excitation bands with A -, B - and C -absorbtion bands of Sn^{2+} impurity were made on the basis of a general regularity of their location in $BX_2:\text{Sn}$ and $ABX_3:\text{Sn}$ crystals. The value of the absolute quantum efficiency of the photoluminescence η_k was determined and its temperature dependence was explored. From the Mott equation an activation energy of the non-radiative transitions ($\epsilon = 36$ meV) and quenching constant ($C = 0.61 \cdot 10^2$) for the $\text{BaCd}_2\text{Cl}_6:\text{Sn}$ crystal were calculated.